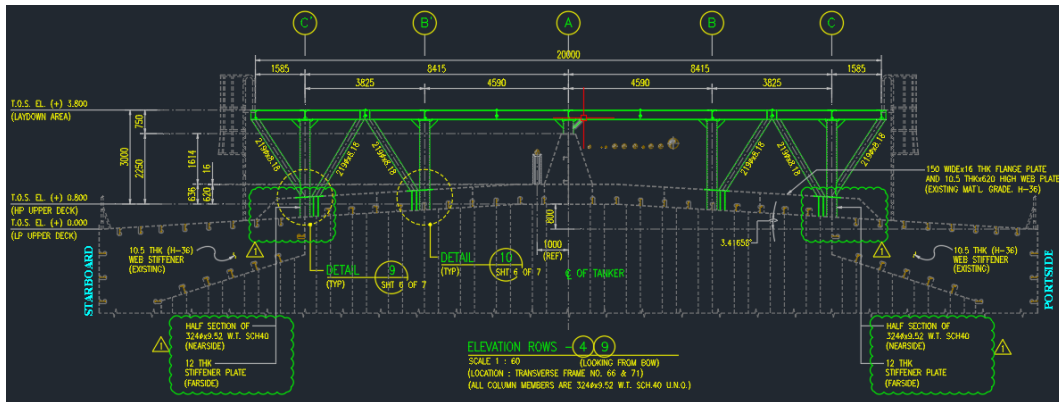
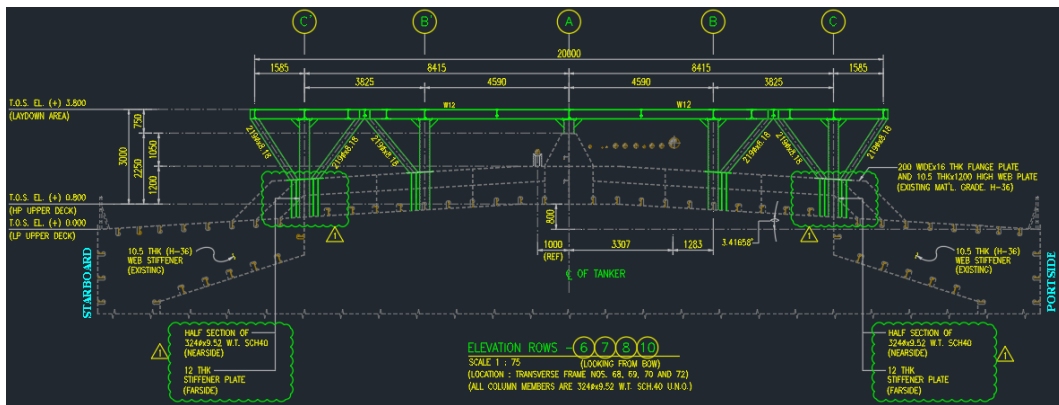


DAFTAR PUSTAKA

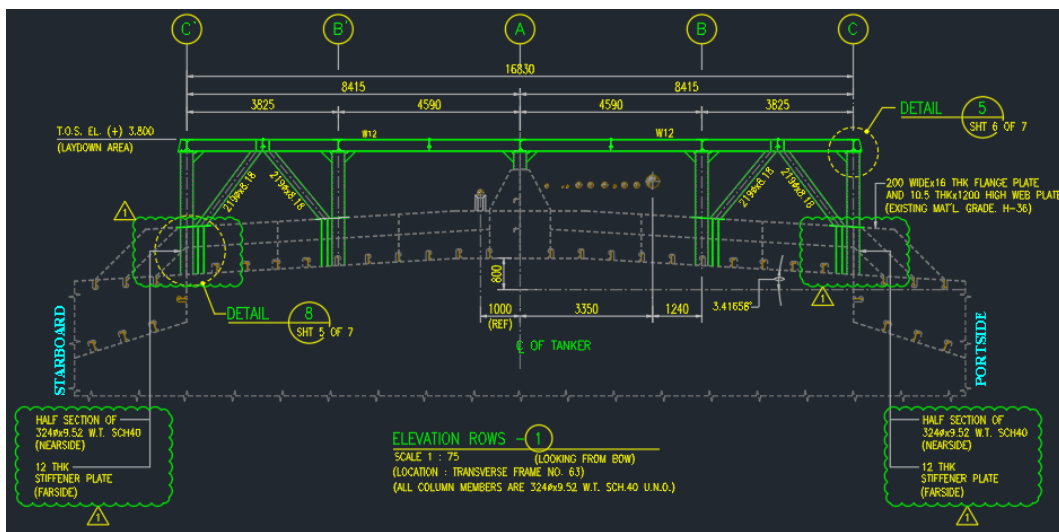
- Biro Klasifikasi Indonesia. 2021. *Volume II Rules for Hull*. Jakarta.
- Daniel dkk. 2016. Evaluation of Wind Loads on FPSO Topsides Using a Numerical Wind Tunnel. Busan.
- DNV-GL. 2013. *Rules for the Certification and Construction*. Germanischer Lloyd SE: Hamburg.
- Gere, James M. & Timoshenko Stephen P. 2000. *Mekanika Bahan Jilid 1 Edisi Keempat*. Erlangga: Jakarta.
- Gere, James M. & Timoshenko Stephen P. 2000. *Mekanika Bahan Jilid 2 Edisi Keempat*. Erlangga: Jakarta.
- Reza. 2020. *Analisis Umur Kelelahan Pilar Penyangga Helideck Pada Kapal Patroli Lepas Pantai*. Institut Teknologi Sepuluh November: Surabaya.



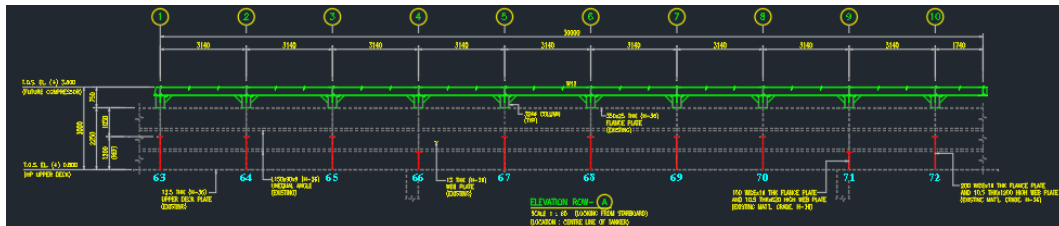
Gambar L.3 Elvacion Rows 4, 9 (Section Melintang di fr. 66 dan fr. 71)



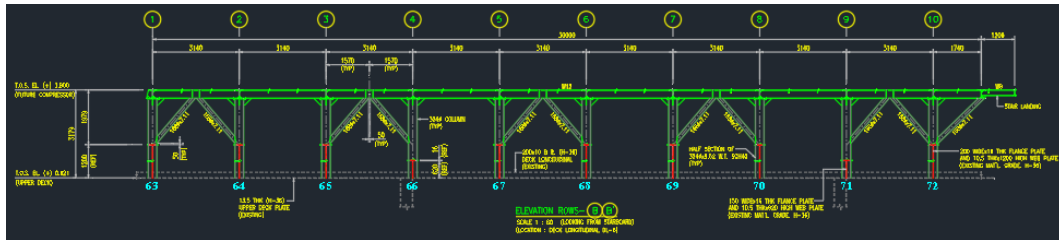
Gambar L.4 Elevation Rows 6,7,8,10 (Section Melintang di fr. 68, fr. 69, fr. 70 dan fr. 72)



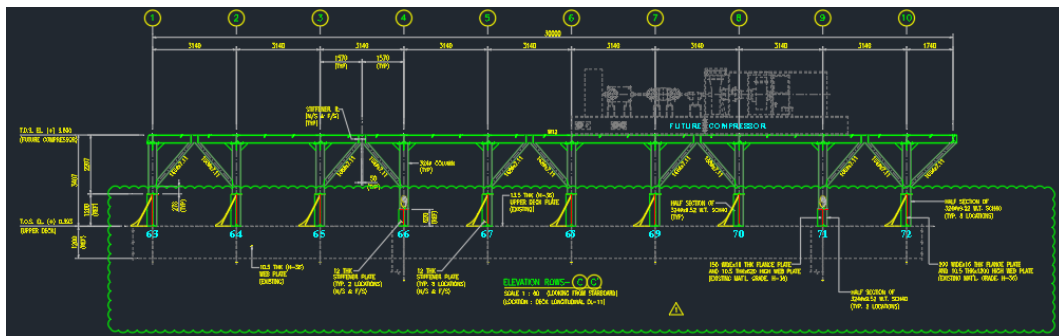
Gambar L.5 Elevation Rows 1 (Section Melintang di fr. 63)



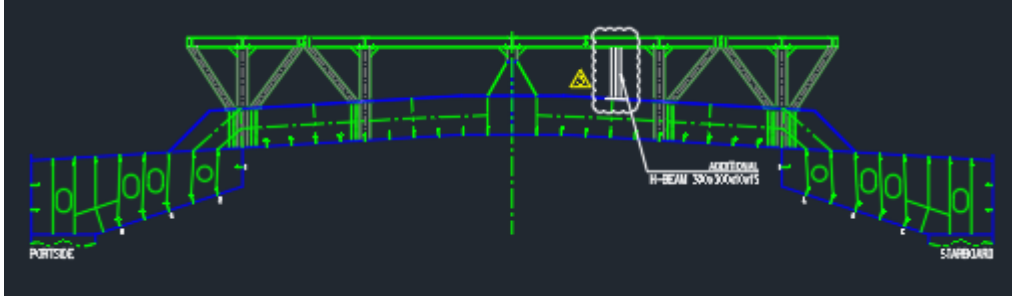
Gambar L.6 Elevation Row A (section membujur di CL)



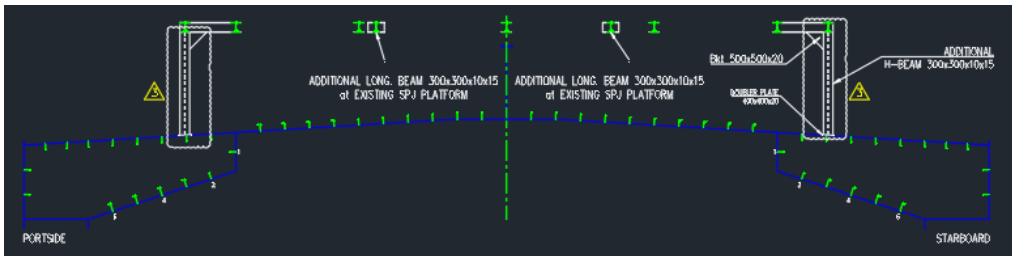
Gambar L.7 Elevation Rows B, B' (section membujur di CL+4590)



Gambar L.8 Elevation Rows C, C' (section membujur di CL+8415)



Gambar L.11 Section at Fr. 64



Gambar L.12 Section at Fr. 66+1320, Fr. 69-500, Fr. 71+483

Lampiran 3

Tabel L.1 Sebaran Tegangan Von Mises pada Komponen-Komponen Struktur *Seating Module* Kondisi Tanpa Tambahan Pilar

Pembebanan	Bagian Konstruksi				
	horizontal frame	transversal frame	brace	pilar	bracket
	Tegangan Von Mises (MPa)				
Pembebanan 1	$7 \times 10^{-2} - 100$	$3 \times 10^{-2} - 94$	$2 \times 10^{-2} - 56$	$2 \times 10^{-2} - 80$	$2 \times 10^{-2} - 219$
Pembebanan 2	$7 \times 10^{-2} - 102$	$3 \times 10^{-2} - 94$	$2 \times 10^{-2} - 56$	$2 \times 10^{-2} - 81$	$2 \times 10^{-2} - 220$
Pembebanan 3	$7 \times 10^{-2} - 118$	$3 \times 10^{-2} - 95$	$2 \times 10^{-2} - 58$	$2 \times 10^{-2} - 83$	$2 \times 10^{-2} - 228$
Pembebanan 4	$7 \times 10^{-2} - 118$	$3 \times 10^{-2} - 113$	$2 \times 10^{-2} - 65$	$2 \times 10^{-2} - 93$	$2 \times 10^{-2} - 254$
Pembebanan 5	$7 \times 10^{-2} - 137$	$3 \times 10^{-2} - 114$	$2 \times 10^{-2} - 67$	$2 \times 10^{-2} - 96$	$2 \times 10^{-2} - 263$

Tabel L.2 Sebaran Tegangan Von Mises pada Komponen-Komponen Struktur *Seating Module* Kondisi Tambahan Pilar

Pembebanan	Bagian Konstruksi					
	horizontal frame	transversal frame	brace	pilar	pilar tambahan	bracket
	Tegangan Von Mises (MPa)					
Pembebanan 1	$3 \times 10^{-2} - 46$	$2 \times 10^{-2} - 50$	$6 \times 10^{-2} - 50$	$1 \times 10^{-2} - 46$	$1 \times 10^{-2} - 44$	$8 \times 10^{-2} - 94$
Pembebanan 2	$3 \times 10^{-2} - 48$	$2 \times 10^{-2} - 50$	$6 \times 10^{-2} - 46$	$1 \times 10^{-2} - 46$	$1 \times 10^{-2} - 44$	$8 \times 10^{-2} - 123$
Pembebanan 3	$3 \times 10^{-2} - 49$	$2 \times 10^{-2} - 59$	$6 \times 10^{-2} - 53$	$1 \times 10^{-2} - 49$	$1 \times 10^{-2} - 45$	$8 \times 10^{-2} - 121$
Pembebanan 4	$3 \times 10^{-2} - 59$	$2 \times 10^{-2} - 63$	$6 \times 10^{-2} - 60$	$1 \times 10^{-2} - 53$	$1 \times 10^{-2} - 54$	$8 \times 10^{-2} - 144$
Pembebanan 5	$3 \times 10^{-2} - 60$	$2 \times 10^{-2} - 68$	$6 \times 10^{-2} - 62$	$1 \times 10^{-2} - 56$	$1 \times 10^{-2} - 54$	$8 \times 10^{-2} - 146$